

1/10  
HSIAO et al.  
HIT1P067/HSJ9-2003-0277US1 (LN)

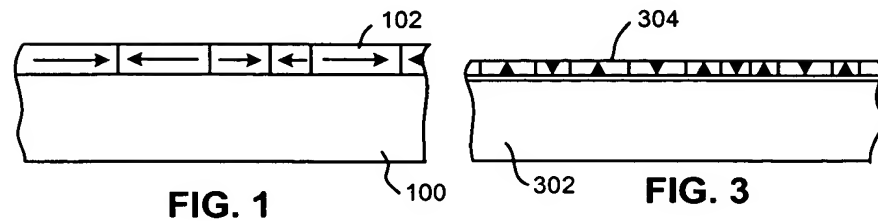


FIG. 1

FIG. 3

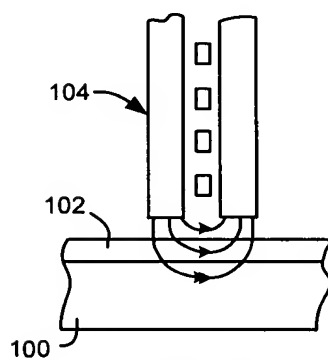


FIG. 2

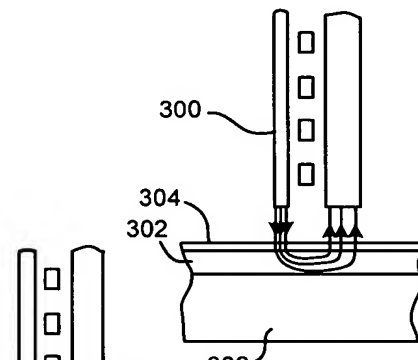


FIG. 4

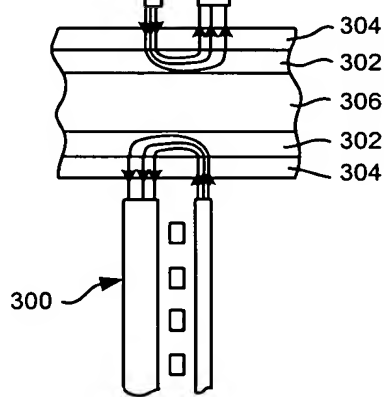


FIG. 5



2/10  
HSIAO et al.  
HIT1P067/HSJ9-2003-0277US1 (LN)

+

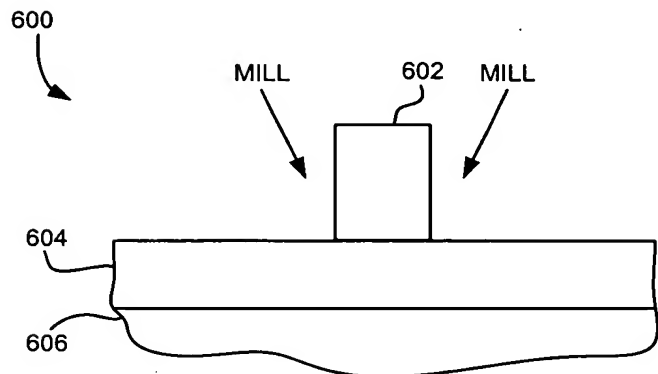


FIG. 6

+

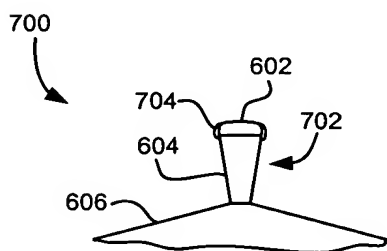


FIG. 7

3/10  
HSIAO et al.  
HIT1P067/HSJ9-2003-0277US1 (LN)

+

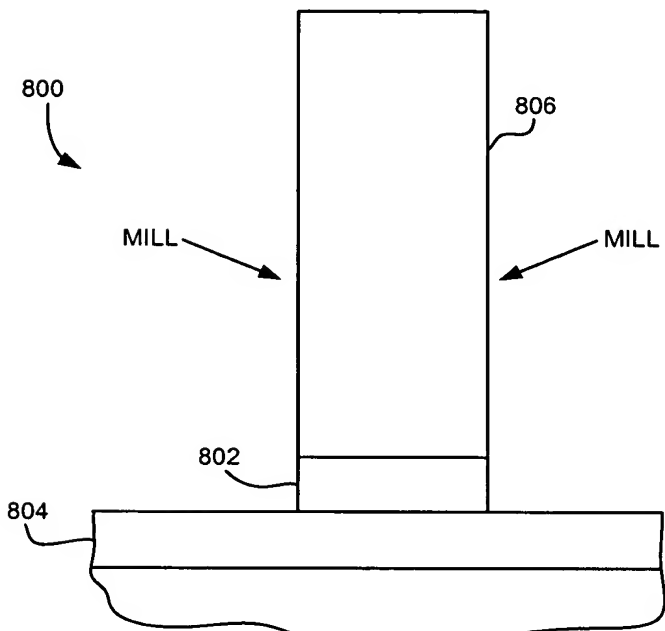


FIG. 8

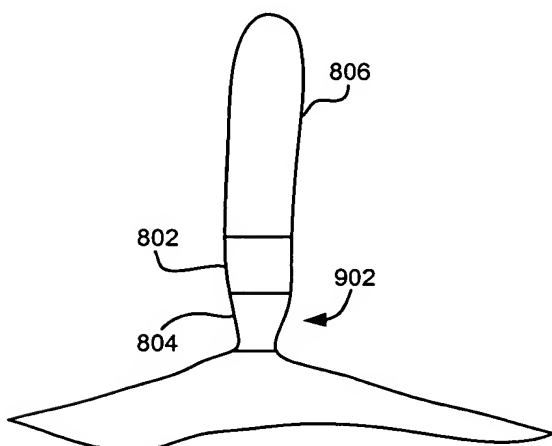


FIG. 9

+

4/10  
HSIAO et al.  
HIT1P067/HSJ9-2003-0277US1 (LN)

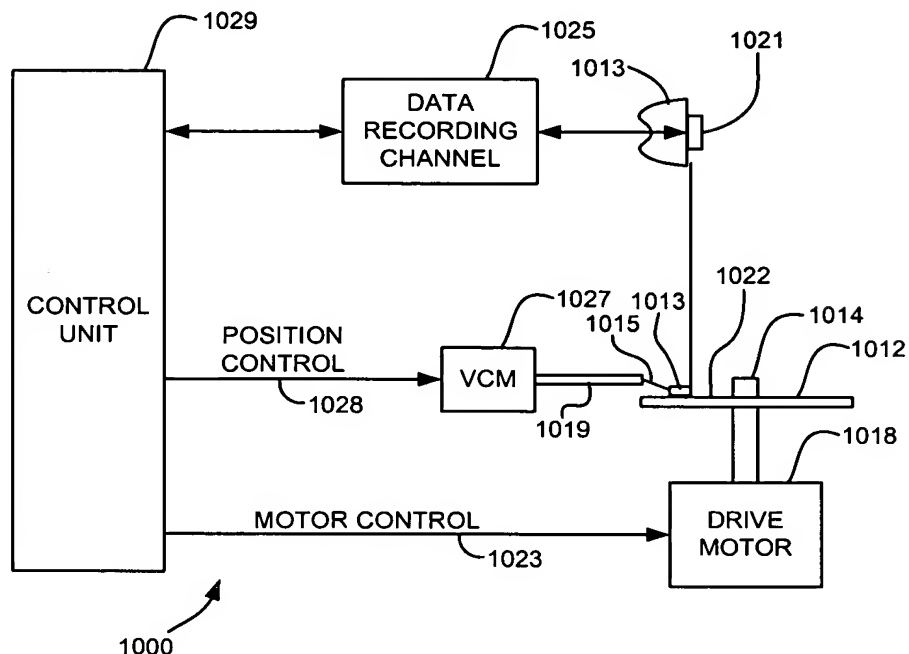


FIG. 10

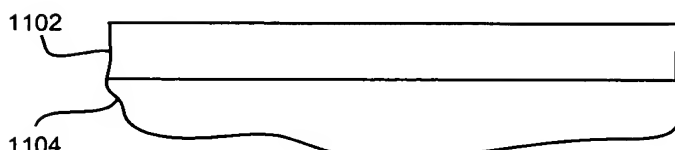
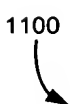


FIG. 11



5/10  
HSIAO et al.  
HIT1P067/HSJ9-2003-0277US1 (LN)

+

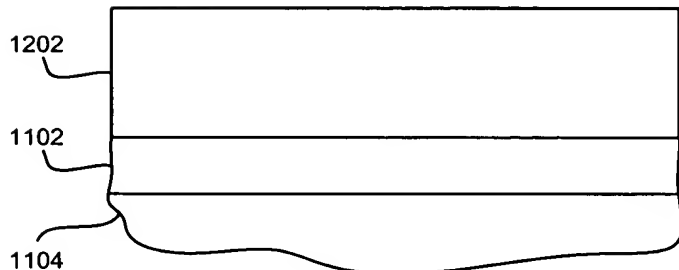


FIG. 12

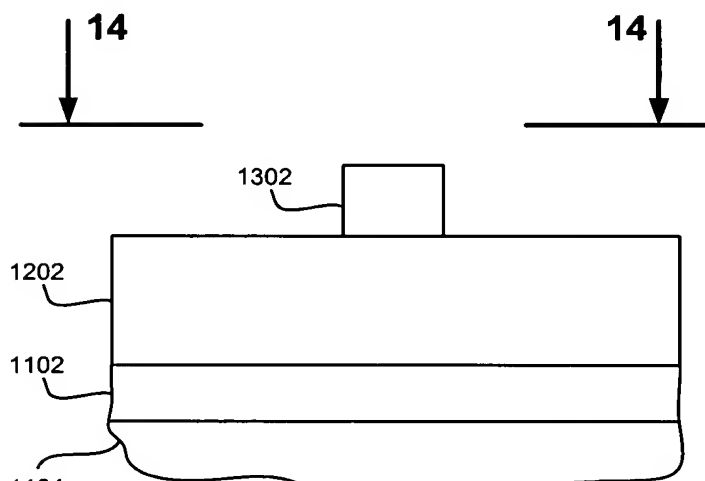


FIG. 13

+

6/10  
HSIAO et al.  
HIT1P067/HSJ9-2003-0277US1 (LN)

+

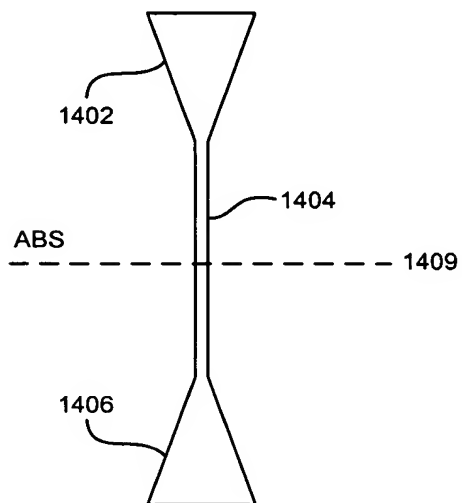


FIG. 14

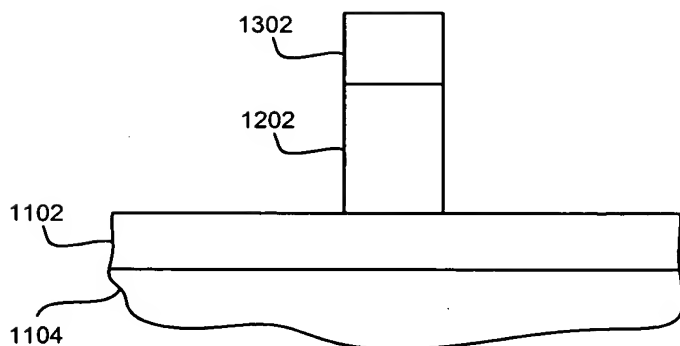


FIG. 15

+

7/10  
HSIAO et al.  
HIT1P067/HSJ9-2003-0277US1 (LN)

+

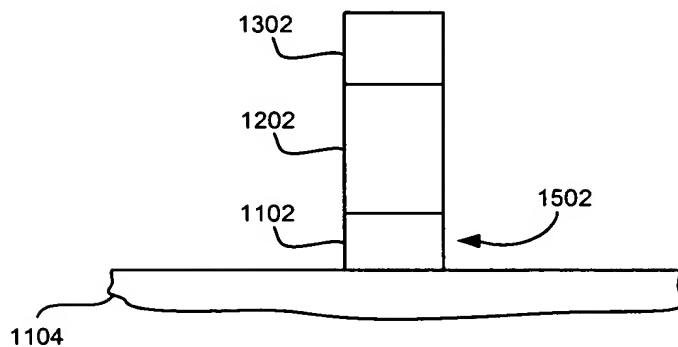


FIG. 16



FIG. 17

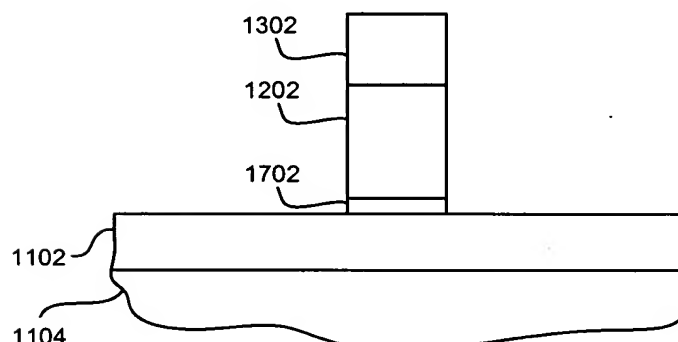
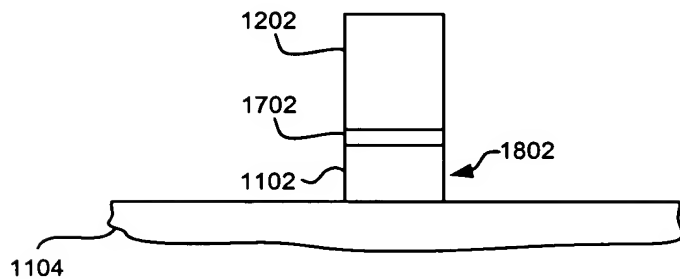


FIG. 18

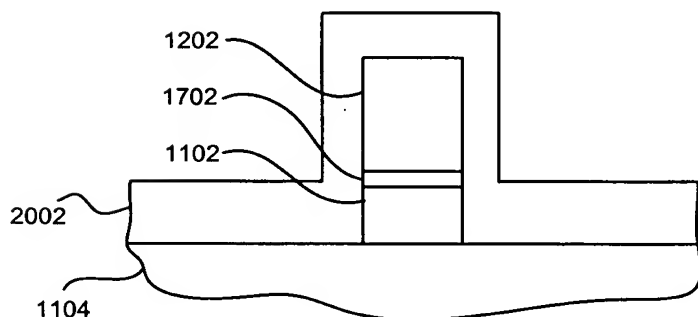
+

8/10  
HSIAO et al.  
HIT1P067/HSJ9-2003-0277US1 (LN)

+



**FIG. 19**



**FIG. 20**

+

9/10  
HSIAO et al.  
HIT1P067/HSJ9-2003-0277US1 (LN)

+

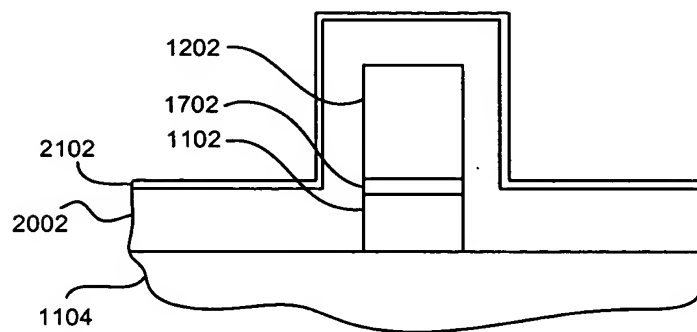


FIG. 21

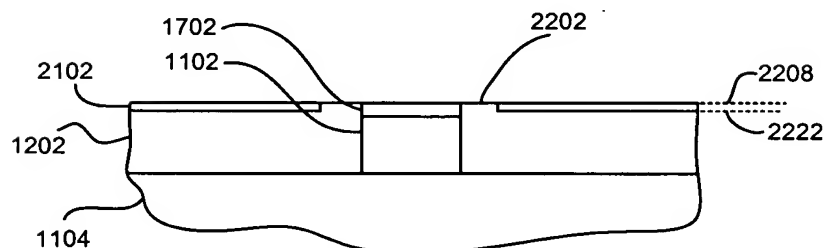


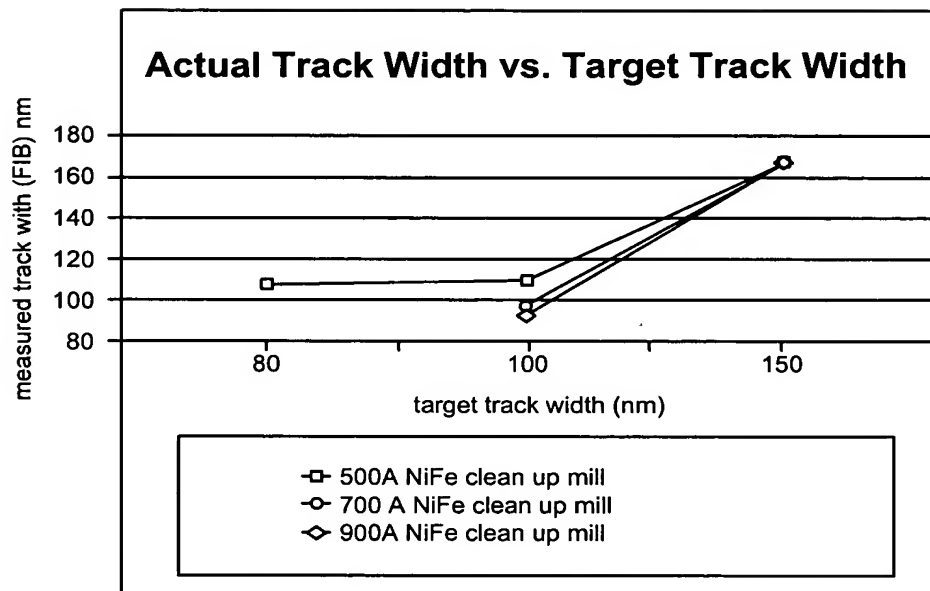
FIG. 22

+

10/10  
HSIAO et al.  
HIT1P067/HSJ9-2003-0277US1 (LN)



2300



**FIG. 23**

